

# کنترلگر ردیاب مسیر برای یک ربات پرنده چهارپره با رویکرد جایابی قطب‌های معادلات دینامیکی خطا بر مبنای تحقق دیفومورفیزم

**ابوالفضل لوائی یانسی**  
**محمدعلی امیری آتاشگاه\***  
**احمد کلهر**

کارشناس ارشد، گروه مهندسی هوافضا، دانشکده علوم و فنون نوین، دانشگاه تهران، تهران، ایران  
 دانشیار، گروه مهندسی هوافضا، دانشکده علوم و فنون نوین، دانشگاه تهران، تهران، ایران  
 استادیار، گروه مهندسی برق کنترل، پردیس فنی- دانشکده برق و کامپیوتر، دانشگاه تهران، تهران، ایران

## چکیده

علاقه در بکارگیری ربات‌های پرنده بویژه ربات پرنده چهارپره در دهه‌های اخیر به شدت رو به افزایش است. از آنجایی که ربات پرنده چهارپره قادر به برخاست و نشست عمودی می‌باشد، به طور گسترده در هر ماموریتی که حضور انسان در آنجا خطرناک است یا زمان حائز اهمیت است مورد استفاده قرار می‌گیرد. این پژوهش در ارتباط با طراحی یک کنترلر ردیاب برای ربات پرنده چهارپره با رویکرد جایابی قطب‌های معادلات دینامیکی خطا بر مبنای تحقق دیفومورفیزم می‌باشد. برای این منظور، پس از مدل‌سازی دینامیکی ربات پرنده چهارپره توسط رابطه‌ی نیوتن- اویلر، فرم فضای حالت معادلات نهایی سیستم و همچنین سیگنال‌های کنترل استخراج می‌گردد. از آنجایی که خروجی باید قادر باشد خروجی مرجع هموار خود را به صورت مجانبی ردیابی کند، استراتژی پیشنهادی در این پژوهش انتقال معادلات حالت سیستم به فضای ورودی- خروجی می‌باشد. لذا در ابتدا کنترل‌پذیری خروجی سیستم و سپس تحقق دیفومورفیزم بین دو فضای حالت اصلی و فضای تبدیل یافته بررسی می‌گردد. سپس با فرض عدم وجود جمله نامعینی و حضور آنها، یک طراحی جایابی قطب پیشنهاد می‌گردد. **واژه‌های کلیدی:** ربات پرنده چهارپره، تحقق دیفومورفیزم، روش جایابی قطب، معادلات دینامیکی خطا.

## A Tracking Control of a Quadrotor via Pole Placement Technique based on Presence of a Diffeomorphism

**A. Lavaei Yanesi**

Aerospace Engineering, Faculty of New Sciences & Technologies, University of Tehran, Tehran, Iran  
Faculty Member in Aerospace Engineering, Faculty of New Sciences & Technologies, University of Tehran, Tehran, Iran

**M. A. Amiri Atashgah**

Faculty Member in Electrical Engineering, School of Electrical and Computer Engineering University of Tehran., Tehran, Iran

**A. Kalhor**

### Abstract

Interest in applying flying robots especially quadcopters for civil purposes has dramatically grown in the last decade. In fact, since quadcopters are capable of vertical takeoff and landing (VTOL), they can be widely employed for nearly any aerial task where a human presence is hazardous or response time is critical. This paper is concerned with a tracking control design of a quadrotor via Pole Placement Technique based on presence of a diffeomorphism. To this end, after dynamic modeling of the flying robot using Newton-Euler equations, the state space form of the acquired final model as well as the signal controls are presented. Since the main objective of this work is to track the smooth reference signals, the differential equations described the dynamics of the system, based on our proposed approach, should be transformed from the state space into input-output space. So, the output controllability of the system, as well as the presence of a diffeomorphism between two state spaces are considered, respectively. Finally, a tracking control design via Pole Placement Technique, in the presence and absence of uncertainty, is proposed.

**Keywords:** Quadrotor, Diffeomorphism, Pole Placement Technique, Dynamic Equations of Errors.

ژایروسکوپ‌ی نسبت به دوران چهار روتور، صرف‌نظر شده است [۵]. همچنین، نتایج شبیه‌سازی با همان اغتشاشات به تدریج در [۶] آورده شده است. در مورد کنترل ربات پرنده نیز یک کنترل  $GH_\infty$  خطی، در مرجع [۷] و یک مدل لغزشی مرتبه بالا در مرجع [۸] برای تعدیل کنترلگر خطی سازی پس‌خورد بیان شده ارائه شده است. هر دوی این روش‌ها به حفظ پایداری مجانبی<sup>۲</sup> ربات پرنده در حضور اغتشاشات خارجی و نویز کمک می‌کنند. شبیه‌سازی‌ها با اغتشاش نوع ضربه<sup>۳</sup> با نمو ۲۰ ثانیه در موقعیت و وضعیت، نتایج رضایت‌بخشی را به همراه دستیابی به موقعیت مطلوب، اثبات کرده‌اند. در ادامه، یک کنترل پسگام انتگرالی<sup>۴</sup> در مرجع [۹] ارائه شده است. نتایج حاصل از شبیه-

### ۱- مقدمه

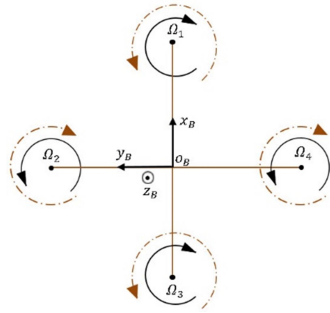
یک ربات پرنده چهارپره دارای مزایای قابل توجهی نسبت به هواپیماهای با بال ثابت است [۱ و ۲]. در سال ۱۹۰۷ اولین پرواز عمودی توسط انسان در یک هلیکوپتر (در واقع یک کوادروتور) توسط برادران بُروگه<sup>۱</sup> در فرانسه با استفاده از ژایروپلین شماره یک آنها انجام شد. اگرچه این وسیله به عنوان نمونه آزمایشی اولیه ساخته شده بود ولی این پروژه در نهایت، به دلیل کمبود بودجه حذف شد [۳ و ۴]. در ادامه، تحقیق بر روی کوادروتور در دانشگاه ورسالیس فرانسه از سال ۲۰۰۱ شروع شد. هدف اصلی این پروژه، اعمال تکنیک‌های کنترلی روی پلتفرم آزمایشی جدید بود که در مدل دینامیکی آن از جملات

<sup>2</sup> Asymptotically Stability

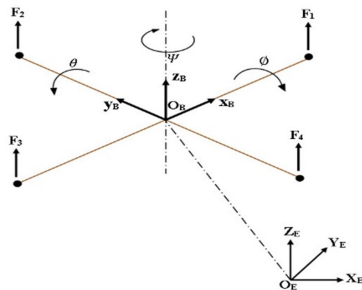
<sup>3</sup> Impulse

<sup>4</sup> Backstepping

<sup>1</sup> Breguet



شکل ۱- نمایی از جهت چرخش روتورها.



شکل ۲- نمایی از حرکات رول، پیچ و یاو در دستگاه بدنی و اینرسی.

پس از مدل سازی دینامیکی توسط روش نیوتن- اوپلر، مجموعه‌ای از سیگنال‌های کنترل به شکل زیر بدست می‌آیند [۲۱]:

$$\mathbf{u} = \begin{bmatrix} u_1 \\ u_2 \\ u_3 \\ u_4 \end{bmatrix} = \begin{bmatrix} 0 & 1 & 0 & 1 \\ -1 & 0 & 1 & 0 \\ 1 & -1 & 1 & -1 \\ 1 & 1 & 1 & 1 \end{bmatrix} \begin{bmatrix} \Omega_1^2 \\ \Omega_2^2 \\ \Omega_3^2 \\ \Omega_4^2 \end{bmatrix} \quad (1)$$

که در آن  $u_i$  ورودی‌های سیستم بوده و  $\Omega_i$  ( $i = 1, 2, 3, 4$ ) سرعت زاویه‌ای چهار روتور می‌باشد. با معکوس کردن ماتریس ضرایب در روابط بالا، سرعت زاویه‌ای هر یک از روتورها برحسب ورودی‌های کنترلی به شرح ذیل بدست می‌آیند:

$$\begin{bmatrix} \Omega_1^2 \\ \Omega_2^2 \\ \Omega_3^2 \\ \Omega_4^2 \end{bmatrix} = \begin{bmatrix} 0 & 1 & 0 & 1 \\ -1 & 0 & 1 & 0 \\ 1 & -1 & 1 & -1 \\ 1 & 1 & 1 & 1 \end{bmatrix}^{-1} \begin{bmatrix} u_1 \\ u_2 \\ u_3 \\ u_4 \end{bmatrix} \quad (2)$$

به بیان دیگر:

$$\Omega = \tau(\mathbf{u}) = \begin{bmatrix} (\max(\Omega_1^2, 0))^{1/2} \\ (\max(\Omega_2^2, 0))^{1/2} \\ (\max(\Omega_3^2, 0))^{1/2} \\ (\max(\Omega_4^2, 0))^{1/2} \end{bmatrix} \quad (3)$$

همچنین معادلات حرکت زاویه‌ای توسط روش نیوتن - اوپلر به شکل زیر بدست می‌آیند [۲۰]:

$$\ddot{\theta} = \dot{\theta}\dot{\psi} \frac{I_Y - I_Z}{I_X} - \frac{I_R}{I_X} \dot{\theta}\Omega_R + \frac{lb}{I_X} u_1 \quad (4 \text{ الف})$$

$$\ddot{\theta} = \dot{\theta}\dot{\psi} \frac{I_Z - I_X}{I_Y} + \frac{I_R}{I_Y} \dot{\theta}\Omega_R + \frac{lb}{I_Y} u_2 \quad (4 \text{ ب})$$

$$\ddot{\psi} = \dot{\theta}\dot{\theta} \frac{I_X - I_Y}{I_Z} + \frac{d}{I_Z} u_3 \quad (4 \text{ پ})$$

سازی نشان داده است که این کنترلگر، قادر به دستیابی و حفظ هاور بدون حضور اغتشاش است. این روش کنترلی در مراجع [۱۰] و [۱۱] نیز ارائه شده است که در آن یک اغتشاش ضربه به شبهه‌سازی‌ها اضافه شده که نشان می‌دهد کنترلر، قابلیت پس‌زدن اغتشاشات کوچک را نیز داراست. دانشگاه ملی استرالیا کار خود را بر روی X-4 Flyer در سال ۲۰۰۲ شروع کرد [۱۲] و نتایج پژوهش‌های خود را به همراه دانشگاه تکنولوژی کامپین فرانسه [۱۳] و دانشگاه پنسیلوانیا [۱۴] در همان سال ارائه کرد. هدف اصلی این پروژه، تهیه یک پلتفرم تجربی بود که در آن می‌توانست طرح‌های کنترل متفاوت را در محیط آزمایشگاهی بسنجد. مدل سیستم تهیه شده در مرجع [۱۲] با اضافه شدن اثرات ژایروسکوپ، نیروهای پسای آیرودینامیک و دینامیک حرکت تیغه‌ها حول لولای افقی در مرجع [۱۵] تغییر کرده است. گفتنی است که تحقیقات در زمینه کوادروتور در دانشگاه پنسیلوانیا در سال ۲۰۰۲ شروع شد. در این پژوهش‌ها علاقه به تحقیقات در استفاده از پس‌خورد دوربین برای تخمین موقعیت و وضعیت وسیله پرنده بجای تکیه بر سنسورهای سنتی بود. همچنین یک طرح کنترل بر اساس اشباع تودرتو<sup>۱</sup> اولین بار در سال ۲۰۰۴ با استفاده از یک کوادروتور آزمایش شد [۱۶]. تحقیقات مرتبط با کوادروتورها در سال ۲۰۰۳ در انستیتو فدرال تکنولوژی سوئیس آغاز گردید. این پروژه شامل توسعه نمونه آزمایشی یک کوادروتور به منظور بررسی تکنیک‌های کنترل متفاوت بر روی آن، با هدف بلند مدت ناوبری داخلی خودکار بود [۱۷]. در این مرجع یک مدل از سیستم ارائه شده است که شامل اثرات ژایروسکوپی از دوران بدنه صلب و چهار روتور است. به دلیل اینکه نمونه آزمایشی اولیه، از موتورهای DC با گیربکس دست‌ساز و کنترلرهای سرعت استفاده می‌کرد، لذا در این پژوهش یک مدل روتور ساده نیز ارائه شده است. در ادامه، مرجع [۱۸] در ارتباط با تعقیب مسیر بر مبنای تصمیم‌گیری برخط می‌باشد. همچنین در [۱۹] به مدل‌سازی و کنترل خطی و غیرخطی پرواز مسیکوپتر پرداخته شده است.

از آنجایی که خروجی باید قادر باشد خروجی مرجع هموار خود را به صورت مجانبی ردیابی کند، استراتژی پیشنهادی در این پژوهش انتقال معادلات حالت سیستم به فضای ورودی- خروجی می‌باشد. لذا در ابتدا کنترل‌پذیری خروجی سیستم و سپس تحقق دیفومورفیزم بین دو فضای حالت اصلی و فضای تبدیل یافته بررسی می‌گردد. سپس با فرض عدم وجود جمله نامعینی، یک طراحی جاباب قطب پیشنهاد می‌گردد.

## ۲- مدل دینامیکی ربات پرنده چهارپره

معمولا ساختار اصلی ربات پرنده‌ی چهارپره از یک قاب اصلی X شکل و چهارموتور که در چهار گوشه قاب اصلی قرار دارند و به هر یک از آنها یک پروانه متصل می‌باشد، تشکیل شده است. در شکل ۱، نمایی از جهت چرخش روتورهای یک ربات پرنده‌ی چهارپره نشان داده شده است. در ادامه، نمایی از حرکات رول، پیچ و یاو یک ربات پرنده چهارپره در دو دستگاه بدنی و اینرسی در شکل ۲ نشان داده شده است.

<sup>1</sup> Nested Saturation

$$a_3 = \frac{I_Z - I_X}{I_Y}, \quad a_4 = \frac{I_R}{I_Y}, \quad b_2 = \frac{lb}{I_Y} \quad (ب \ 7)$$

$$a_5 = \frac{I_X - I_Y}{I_Z}, \quad b_3 = \frac{d}{I_Z}, \quad b_4 = \frac{b}{m} \quad (پ \ 7)$$

لذا در نهایت مجموعه معادلات بیان شده در روابط (۴) و (۶) به فرم زیر تبدیل می‌شوند:

$$\ddot{\theta} = a_1 \dot{\theta} \dot{\psi} - a_2 \dot{\theta} \Omega_R + b_1 u_1 \quad (الف \ 8)$$

$$\ddot{\psi} = a_3 \dot{\psi} \dot{\theta} + a_4 \dot{\psi} \Omega_R + b_2 u_2 \quad (ب \ 8)$$

$$\ddot{x} = a_5 \dot{\theta} \dot{\theta} + b_3 u_3 \quad (پ \ 8)$$

$$\ddot{x} = \sin(\theta) \cos(\theta) b_4 u_4 \quad (ت \ 8)$$

$$\ddot{y} = -\sin(\theta) b_4 u_4 \quad (ث \ 8)$$

$$\ddot{z} = -g + \cos(\theta) \cos(\theta) b_4 u_4 \quad (ج \ 8)$$

برای بیان بهتر مدل کوادروتور ارائه شده، مجموعه معادلات ارائه شده در (۸) با تغییر متغیرهای زیر به شکل فضای حالت مرتبه‌ی یک تبدیل می‌شوند:

$$x_1 = \theta, x_2 = \dot{\theta}, x_3 = \theta, x_4 = \dot{\theta}, x_5 = \psi, x_6 = \dot{\psi} \quad (۹)$$

$$x_7 = x, x_8 = \dot{x}, x_9 = y, x_{10} = \dot{y}, x_{11} = z, x_{12} = \dot{z}$$

لذا شکل تبدیل یافته‌ی فضای حالت مرتبه‌ی یک برای ربات پرنده چهارپره‌ی موردنظر به شرح ذیل می‌باشد:

$$\begin{bmatrix} \dot{x}_1 \\ \dot{x}_2 \\ \dot{x}_3 \\ \dot{x}_4 \\ \dot{x}_5 \\ \dot{x}_6 \\ \dot{x}_7 \\ \dot{x}_8 \\ \dot{x}_9 \\ \dot{x}_{10} \\ \dot{x}_{11} \\ \dot{x}_{12} \end{bmatrix} = \begin{bmatrix} 0 & 1 & 0 & 0 & 0 & 0 & 0 & 0 & 0 & 0 & 0 & 0 \\ 0 & 0 & 0 & a_1 x_6 - a_2 \Omega_R & 0 & 0 & 0 & 0 & 0 & 0 & 0 & 0 \\ 0 & 0 & 0 & 1 & 0 & 0 & 0 & 0 & 0 & 0 & 0 & 0 \\ 0 & a_3 x_6 + a_4 \Omega_R & 0 & 0 & 0 & 0 & 0 & 0 & 0 & 0 & 0 & 0 \\ 0 & 0 & 0 & 0 & 0 & 0 & 1 & 0 & 0 & 0 & 0 & 0 \\ 0 & a_5 x_4 & 0 & 0 & 0 & 0 & 0 & 0 & 0 & 0 & 0 & 0 \\ 0 & 0 & 0 & 0 & 0 & 0 & 0 & 1 & 0 & 0 & 0 & 0 \\ 0 & 0 & 0 & 0 & 0 & 0 & 0 & 0 & 0 & 0 & 0 & 0 \\ 0 & 0 & 0 & 0 & 0 & 0 & 0 & 0 & 1 & 0 & 0 & 0 \\ 0 & 0 & 0 & 0 & 0 & 0 & 0 & 0 & 0 & 0 & 1 & 0 \\ 0 & 0 & 0 & 0 & 0 & 0 & 0 & 0 & 0 & 0 & 0 & 1 \end{bmatrix} \begin{bmatrix} x_1 \\ x_2 \\ x_3 \\ x_4 \\ x_5 \\ x_6 \\ x_7 \\ x_8 \\ x_9 \\ x_{10} \\ x_{11} \\ x_{12} \end{bmatrix} \quad (۱۰)$$

$$+ \begin{bmatrix} 0 & 0 & 0 & 0 \\ b_1 & 0 & 0 & 0 \\ 0 & 0 & 0 & 0 \\ 0 & b_2 & 0 & 0 \\ 0 & 0 & 0 & 0 \\ 0 & 0 & b_3 & 0 \\ 0 & 0 & 0 & b_4 \sin(x_3) \cos(x_1) \\ 0 & 0 & 0 & 0 \\ 0 & 0 & 0 & -b_4 \sin(x_1) \\ 0 & 0 & 0 & 0 \\ 0 & 0 & 0 & -\frac{g}{u_4} + b_4 \cos(x_3) \cos(x_1) \end{bmatrix} [u_1 \quad u_2 \quad u_3 \quad u_4]$$

که در آن  $\psi, \theta, \phi$  زاویه‌ی رول حول محور  $x$ ، زاویه‌ی پیچ حول محور  $y$  و زاویه‌ی باو حول محور  $Z$  می‌باشد. همچنین  $I_Z, I_Y, I_X$  ممان اینرسی بدنه حول سه محور است.  $d, b, I_R$  و  $l$  به ترتیب ممان اینرسی هر روتور حول محور  $Z$ ، ضریب تراست ثابت، ضریب پسیای ثابت و طول هر بازوی ممان می‌باشند. همچنین  $\Omega_R$  مجموع سرعت‌های زاویه‌ای روتورها بوده و به شکل زیر محاسبه می‌شود:

$$\Omega_R = (-\Omega_1 + \Omega_2 - \Omega_3 + \Omega_4) \quad (۵)$$

معادلات حرکت انتقالی توسط روش نیوتن - اوپلر به شکل زیر بدست می‌آیند [۲۱]:

$$\ddot{x} = \sin(\theta) \cos(\theta) \frac{b}{m} u_4 \quad (الف \ ۶)$$

$$\ddot{y} = -\sin(\theta) \frac{b}{m} u_4 \quad (ب \ ۶)$$

$$\ddot{z} = -g + \cos(\theta) \cos(\theta) \frac{b}{m} u_4 \quad (پ \ ۶)$$

که در آن  $m$  و  $g$  به ترتیب جرم ربات پرنده چهارپره و شتاب گرانش زمین می‌باشند. برای بیان ساده‌تر معادلات فوق، ضرایب مورد استفاده در این معادلات به صورت زیر در نظر گرفته می‌شوند:

$$a_1 = \frac{I_Y - I_Z}{I_X}, \quad a_2 = \frac{I_R}{I_X}, \quad b_1 = \frac{lb}{I_X} \quad (الف \ ۷)$$



حالت، معکوس پذیر باشد. در نتیجه باید جاکوبی رابطه‌ی تبدیل بین دو بردار حالت در رژیم کاری ربات پرنده ناکمین<sup>۱</sup> باشد تا بتوان در هر زمان یک ارتباط معکوس پذیر بین دوفضای حالت قدیم و جدید ایجاد کرد. همانطور که ملاحظه می‌شود بین دو بردار حالت، هشت متغیر حالت یکسان وجود دارد. چهار متغیر حالت جدید سیستم یعنی  $\bar{x}_1$  تا  $\bar{x}_4$  براساس بردار حالت قبلی از روابط زیر محاسبه می‌شوند:

$$\ddot{x} = \sin(\theta)\cos(\phi) \frac{b}{m} u_4 \quad (۲۳ \text{ الف})$$

$$x^{[3]} = \dot{\theta} b_4 u_4 \cos(\theta) \cos(\phi) - \dot{\phi} b_4 u_4 \sin(\theta) \sin(\phi) + b_4 \dot{u}_4 \sin(\theta) \cos(\phi) \quad (۲۳ \text{ ب})$$

$$\ddot{y} = -\sin(\phi) \frac{b}{m} u_4 \quad (۲۳ \text{ پ})$$

$$y^{[3]} = -\dot{\phi} b_4 u_4 \cos(\phi) - b_4 \dot{u}_4 \sin(\phi) \quad (۲۳ \text{ ت})$$

اگر بتوان نشان داد که جاکوبی روابط نگاشتی مربوط به این چهار متغیر باقیمانده دارای رتبه‌ی کامل (رتبه‌ی چهار) می‌باشد، در آن صورت تحقق دیفومورفیزم رخ خواهد داد. ماتریس زیر جاکوبی روابط نگاشتی بین چهار متغیر حالت باقیمانده را براساس متغیرهای حالت قبلی نشان می‌دهد:

$$J = \begin{bmatrix} J_{11} & 0 & J_{13} & 0 \\ J_{21} & J_{22} & J_{23} & J_{24} \\ J_{31} & 0 & 0 & 0 \\ J_{41} & J_{42} & 0 & 0 \end{bmatrix} \quad (۲۴)$$

که در آن:

$$J_{11} = -\sin(\theta)\sin(\phi) \frac{b}{m} u_4 \quad (الف ۲۵)$$

$$J_{13} = \cos(\theta)\cos(\phi) \frac{b}{m} u_4 \quad (ب ۲۵)$$

$$J_{21} = -\dot{\theta} b_4 u_4 \cos(\theta) \sin(\phi) - \dot{\phi} b_4 u_4 \sin(\theta) \cos(\phi) - b_4 \dot{u}_4 \sin(\theta) \sin(\phi) \quad (پ ۲۵)$$

$$J_{22} = -b_4 u_4 \sin(\theta) \sin(\phi) \quad (ت ۲۵)$$

$$J_{23} = -\dot{\theta} b_4 u_4 \sin(\theta) \cos(\phi) - \dot{\phi} b_4 u_4 \cos(\theta) \sin(\phi) + b_4 \dot{u}_4 \cos(\theta) \cos(\phi) \quad (ث ۲۵)$$

$$J_{24} = b_4 u_4 \cos(\theta) \cos(\phi) \quad (ج ۲۵)$$

$$J_{31} = -\cos(\phi) \frac{b}{m} u_4 \quad (چ ۲۵)$$

$$J_{41} = \dot{\theta} b_4 u_4 \sin(\phi) - b_4 \dot{u}_4 \cos(\phi) \quad (ح ۲۵)$$

$$J_{42} = b_4 u_4 \cos(\phi) \quad (خ ۲۵)$$

همانطور که مشاهده می‌شود، ماتریس جاکوبی فوق به ازای  $-\frac{\pi}{2} < \theta < \frac{\pi}{2}$  و  $-\frac{\pi}{2} < \phi < \frac{\pi}{2}$  همواره دارای رتبه‌ی کامل است، لذا نگاشت بین بردار حالت قدیم و جدید یک دیفومورفیزم است. همانطور که ملاحظه شد، سیستم کنترل پذیر خروجی بوده و از طرفی رابطه‌ی بین بردار حالت در فضای ورودی- خروجی و فضای اصلی یک دیفومورفیزم می‌باشد. لذا می‌توان استراتژی کنترل ردیاب را در فضای ورودی- خروجی پیاده سازی کرد.

## ۵- طراحی کنترلگر ردیاب با رویکرد جایابی قطب

بر این اساس یک روش طراحی کنترل مبتنی بر جایابی قطب به گونه‌ای پیشنهاد می‌گردد که قطب‌های دستگاه معادلات دیفرانسیل مبتنی بر خطای هریک از خروجی‌ها، جهت ارضاء معیار پایداری را ت -

برای بررسی کامل بودن رتبه‌ی ماتریس فوق، رژیم کاری ربات مطابق جدول ۱ تعریف می‌شود. با توجه به پارامترهای جدول ارائه شده که فضای کاری ربات پرنده‌ی موردنظر می‌باشد، بسادگی مشاهده می‌شود که ماتریس کنترل پذیری خروجی در (۱۹) دارای رتبه کامل است و لذا سیستم در هر نقطه‌ی داخلی از این فضای کاری کنترل پذیر خروجی خواهد بود.

جدول ۱- رژیم کاری تعیین شده برای ربات پرنده‌ی چهارپره

پارامترها	کران پایین	کران بالا
$v_x$	0	5
$v_y$	0	5
$v_z$	0	5
$\phi$	$-\pi/2$	$\pi/2$
$\theta$	$-\pi/2$	$\pi/2$
$\dot{\phi}$	-20	20
$\dot{\theta}$	-20	20
$\dot{\psi}$	-20	20

حال پس از بررسی کنترل پذیری خروجی، برای تبدیل معادلات دیفرانسیل توصیف کننده‌ی سیستم از فضای حالت به فضای ورودی - خروجی کافی است که از متغیرهای خروجی  $x, y, z$  مشتقات سوم و چهارم نیز گرفته شده و معادلات دیفرانسیل سیستم در فضای ورودی - خروجی به شکل زیر بازنویسی شود:

$$x^{[4]} = (Ax)u_4 + (Bx)u_2 u_4 - (Cx)u_1 u_4 + (Dx)\dot{u}_4 + (Ex)\ddot{u}_4 \quad (الف ۲۰)$$

$$y^{[4]} = (Ay)u_4 - (By)u_1 u_4 - (Cy)\dot{u}_4 - (Dy)\ddot{u}_4 \quad (ب ۲۰)$$

$$\ddot{z} = -g + \cos(\theta)\cos(\phi) \frac{b}{m} u_4 \quad (پ ۲۰)$$

$$\ddot{\psi} = \dot{\theta} \dot{\phi} \frac{I_x - I_y}{I_z} + \frac{d}{I_z} u_3 \quad (ت ۲۰)$$

که در آن:

$$Ax = (a_3 b_4 \dot{\phi} \dot{\psi} \cos(\theta) \cos(\phi) + a_4 b_4 \dot{\phi} \Omega_R \cos(\theta) \cos(\phi) - b_4 \dot{\theta}^2 \sin(\theta) \cos(\phi) - b_4 \dot{\theta} \dot{\phi} \cos(\theta) \sin(\phi) - a_1 b_4 \dot{\theta} \dot{\psi} \sin(\theta) \sin(\phi) + a_2 b_4 \dot{\theta} \Omega_R \sin(\theta) \sin(\phi) - b_4 \dot{\theta} \dot{\phi} \cos(\theta) \sin(\phi) - b_4 \dot{\theta}^2 \sin(\theta) \cos(\phi)) \quad (الف ۲۱)$$

$$Bx = (b_2 b_4 \cos(\theta) \cos(\phi)) u_2 u_4 \quad (ب ۲۱)$$

$$Cx = (b_1 b_4 \sin(\theta) \sin(\phi)) \quad (پ ۲۱)$$

$$Dx = (2b_4 \dot{\theta} \cos(\theta) \cos(\phi) - 2b_4 \dot{\phi} \sin(\theta) \sin(\phi)) \quad (ت ۲۱)$$

$$Ex = (b_4 \sin(\theta) \cos(\phi)) \quad (ث ۲۱)$$

$$Ay = (a_1 b_4 \dot{\theta} \dot{\psi} \cos(\phi) + a_2 b_4 \dot{\theta} \Omega_R \cos(\phi) + b_4 \dot{\theta}^2 \sin(\phi)) \quad (ج ۲۱)$$

$$By = (b_1 b_4 \cos(\phi)) \quad (چ ۲۱)$$

$$Cy = (2b_4 \dot{\phi} \cos(\phi)) \quad (ح ۲۱)$$

$$Dy = (b_4 \sin(\phi)) \quad (خ ۲۱)$$

بردار حالت اصلی کوادروتور به شکل معادلات (۹) می‌باشد. پس از بازنمایی معادلات سیستم در فضای ورودی - خروجی، بردار حالت سیستم به شکل زیر تغییر می‌کند:

$$\begin{aligned} \bar{x}_1 &= \ddot{x}, \bar{x}_2 = \ddot{y}, \bar{x}_3 = \ddot{z}, \bar{x}_4 = \ddot{\psi}, \bar{x}_5 = \dot{\psi}, \bar{x}_6 = \dot{\psi} \\ \bar{x}_7 &= x, \bar{x}_8 = \dot{x}, \bar{x}_9 = y, \bar{x}_{10} = \dot{y}, \bar{x}_{11} = z, \bar{x}_{12} = \dot{z} \end{aligned} \quad (۲۲)$$

در این قسمت تحقق دیفومورفیزم بین دو بردار حالت جدید و قدیم بررسی می‌گردد. برای چنین منظوری باید نگاشت بین این دو بردار

<sup>1</sup> Non-singular

$$\text{step2: } u_3 = \left( v_\psi - \dot{\theta} \frac{I_x - I_y}{I_z} \right) / \left( \frac{d}{I_z} \right) \quad (\text{پ } 31)$$

$$\text{step3: } u_1 = -(v_y - (Ay)u_4 + (Cy)\dot{u}_4 + (Dy)\ddot{u}_4) / (Byu_4) \quad (\text{پ } 31)$$

$$\text{step4: } u_2 = (v_x - (Ax)u_4 + (Cx)u_1u_4 - (Dx)\dot{u}_4 - (Ex)\ddot{u}_4) / ((Bx)u_4) \quad (\text{ت } 31)$$

حال مسئله فوق را در حضور یک عدم قطعیت جمعی کران دار سینوسی (که مجموع عدم قطعیت‌های دینامیکی، ساختاری و محیطی می باشد) بررسی می کنیم. برای این منظور، معادلات دیفرانسیل سیستم در فضای ورودی - خروجی در (۲۰) را با وجود جملات نامعینی  $(\gamma_i(t))$ ،  $(i = x, y, z, \psi)$  در نظر بگیریم:

$$x^{[4]} = (Ax)u_4 + (Bx)u_2u_4 - (Cx)u_1u_4 + (Dx)\dot{u}_4 + (Ex)\ddot{u}_4 + \gamma_x(t), \quad |\gamma_x(t)| < \bar{\gamma}_x \quad (\text{الف } 32)$$

$$y^{[4]} = (Ay)u_4 - (By)u_1u_4 - (Cy)\dot{u}_4 - (Dy)\ddot{u}_4 + \gamma_y(t), \quad |\gamma_y(t)| < \bar{\gamma}_y \quad (\text{ب } 32)$$

$$\ddot{z} = -g + \cos(\theta)\cos(\phi) \frac{b}{m} u_4 + \gamma_z(t), \quad |\gamma_z(t)| < \bar{\gamma}_z \quad (\text{پ } 32)$$

$$\ddot{\psi} = \dot{\theta} \frac{I_x - I_y}{I_z} + \frac{d}{I_z} u_3 + \gamma_\psi(t), \quad |\gamma_\psi(t)| < \bar{\gamma}_\psi \quad (\text{ت } 32)$$

که در آن  $(\bar{\gamma}_i(t))$  کران بالای نامعینی جمعی می باشد. جمله نامعینی متغیر با زمان مورد استفاده در این پژوهش  $5\pi/180 \sin(0.01t)$  است که این نامعینی می تواند ناشی از خطای مدل سازی سیستم و یا برخورد یک تندباد<sup>۲</sup> به ربات پرنده ی چهارپره باشد. مشابه روش ارائه شده در این قسمت، یک کنترل ربات مبتنی بر جایابی قطب در حضور جملات نامعینی طراحی می شود. نتایج این کنترلگر ربات در قسمت نتایج حاصل از شبیه سازی ارائه شده است.

## ۶- نتایج حاصل از شبیه سازی

مشخصات فیزیکی ربات پرنده بکارگرفته شده در این پژوهش در جدول ۲ ارائه شده است. نتایج حاصل از ردیابی مسیر مرجع توسط سیگنال های خروجی، در شکل های ۴ تا ۸ ارائه شده است. همانطور که مشاهده می شود، سیگنال های خروجی توانسته اند سیگنال های مرجع را بخوبی ردیابی نمایند. نتایج حاصل از سیگنال های خطای خروجی ربات پرنده ی چهارپره در شکل های ۹ تا ۱۲ نمایش داده شده است. همانطور که مشاهده می شود، پس از گذشت مدت زمانی اندک، سیگنال های خطای ردیابی به سمت صفر میل می کنند.

جدول ۲- مشخصات فیزیکی ربات پرنده بکارگرفته شده

پارامتر	مقدار و واحد
جرم ربات پرنده	۱/۵۲ (kg)
طول هر بازوی ممان	۰/۲۳۲ (m)
ضریب تراست ثابت	۰/۰۰۰۰۳۱۳ (N.s <sup>2</sup> )
ضریب درگ ثابت	۰/۰۰۰۰۰۷۵ (N.m.s <sup>2</sup> )
ممان اینرسی بدنه حول محور X	۰/۰۰۶۲۲۸ (kg.m <sup>2</sup> )
ممان اینرسی بدنه حول محور Y	۰/۰۰۶۲۲۵ (kg.m <sup>2</sup> )
ممان اینرسی بدنه حول محور Z	۰/۰۱۱۲۱ (kg.m <sup>2</sup> )
ممان اینرسی هر موتور حول محور Z	۰/۰۰۰۰۶ (kg.m <sup>2</sup> )

هرویس<sup>۱</sup> منفی باشند. برای طراحی کنترلگر در این قسمت، ابتدا چهار ورودی کمکی  $v_x, v_y, v_z, v_\psi$  را به شکل زیر تعریف می کنیم:

$$v_x = (Ax)u_4 + (Bx)u_2u_4 - (Cx)u_1u_4 + (Dx)\dot{u}_4 + (Ex)\ddot{u}_4 \quad (\text{الف } 26)$$

$$v_y = (Ay)u_4 - (By)u_1u_4 - (Cy)\dot{u}_4 - (Dy)\ddot{u}_4 \quad (\text{ب } 26)$$

$$v_z = -g + \cos(\theta)\cos(\phi) \frac{b}{m} u_4 \quad (\text{پ } 26)$$

$$v_\psi = \dot{\theta} \frac{I_x - I_y}{I_z} + \frac{d}{I_z} u_3 \quad (\text{ت } 26)$$

در این صورت یک بیان ساده شده از سیستم غیر خطی به شکل زیر بدست می آید:

$$x^{[4]} = v_x \quad (\text{الف } 27)$$

$$y^{[4]} = v_y \quad (\text{ب } 27)$$

$$\ddot{z} = v_z \quad (\text{پ } 27)$$

$$\ddot{\psi} = v_\psi \quad (\text{ت } 27)$$

اکنون در ابتدا برای معادلات ساده شده فوق بر اساس ورودی های کمکی، طراحی کنترلگر بر مبنای جایابی قطب انجام شده و سپس ورودی های اصلی از معادلات (۲۶) بدست می آیند. در اینجا ورودی های کمکی طوری تعریف شده اند که یک معادله ی دینامیکی خطا با معادله ی مشخصه ی پایدار برای هر یک از خروجی ها به شرح ذیل برقرار باشد:

$$e_x^{[4]} + k_{x3}e_x^{[3]} + k_{x2}e_x^{[2]} + k_{x1}\dot{e}_x + k_{x0}e_x = 0, \quad e_x = x - x_r \quad (\text{الف } 28)$$

$$e_y^{[4]} + k_{y3}e_y^{[3]} + k_{y2}e_y^{[2]} + k_{y1}\dot{e}_y + k_{y0}e_y = 0, \quad e_y = y - y_r \quad (\text{ب } 28)$$

$$e_z^{[2]} + k_{z1}\dot{e}_z + k_{z0}e_z = 0, \quad e_z = z - z_r \quad (\text{پ } 28)$$

$$e_\psi^{[2]} + k_{\psi1}\dot{e}_\psi + k_{\psi0}e_\psi = 0, \quad e_\psi = \psi - \psi_r \quad (\text{ت } 28)$$

ضرایب هر یک از معادلات فوق می بایست به گونه ای تعیین شوند که ریشه های معادله ی مشخصه های مربوط به معادله دینامیکی خطا بر اساس معیار پایداری رات - هرویس همگی منفی باشند. در این پژوهش، ضرایب به گونه ای تعیین شده اند که در تمام معادلات مشخصه ی بالا، قطب های سیستم همگی ۲- شوند. به عبارت دیگر:

$$e_x^{[4]} + 8e_x^{[3]} + 24e_x^{[2]} + 32\dot{e}_x + 16e_x = 0 \quad (\text{الف } 29)$$

$$e_y^{[4]} + 8e_y^{[3]} + 24e_y^{[2]} + 32\dot{e}_y + 16e_y = 0 \quad (\text{ب } 29)$$

$$e_z^{[2]} + 4\dot{e}_z + 4e_z = 0 \quad (\text{پ } 29)$$

$$e_\psi^{[2]} + 4\dot{e}_\psi + 4e_\psi = 0 \quad (\text{ت } 29)$$

برای اینکه معادلات دینامیکی خطای فوق برقرار شوند، از تلفیق روابط (۲۷) و (۲۸) خواهیم داشت:

$$v_x = x_r^{[4]} - k_{x3}e_x^{[3]} - k_{x2}e_x^{[2]} - k_{x1}\dot{e}_x - k_{x0}e_x \quad (\text{الف } 30)$$

$$v_y = y_r^{[4]} - k_{y3}e_y^{[3]} - k_{y2}e_y^{[2]} - k_{y1}\dot{e}_y - k_{y0}e_y \quad (\text{ب } 30)$$

$$v_z = z_r^{[2]} - k_{z1}\dot{e}_z - k_{z0}e_z \quad (\text{پ } 30)$$

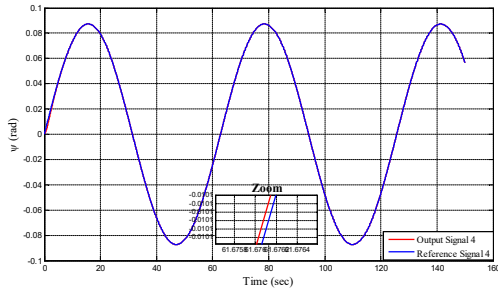
$$v_\psi = \psi_r^{[2]} - k_{\psi1}\dot{e}_\psi - k_{\psi0}e_\psi \quad (\text{ت } 30)$$

در نهایت با معادل قرار دادن ورودی های کمکی در معادلات ۲۶ و ۳۰، ورودی های اصلی بدست خواهند آمد. برای این منظور کافی است مطابق روابط زیر عمل شود:

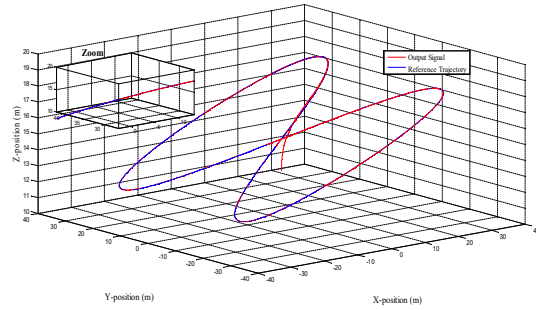
$$\text{step1: } u_4 = (v_z + g) / (\cos(\theta)\cos(\phi)) \frac{b}{m} \quad (\text{الف } 31)$$

<sup>2</sup> Gust

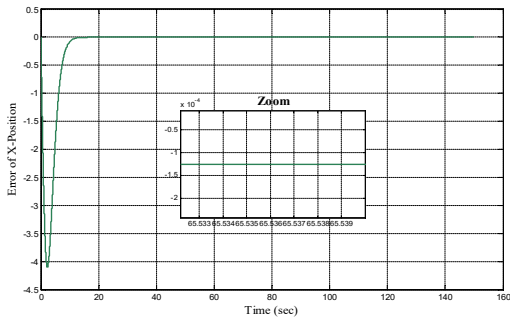
<sup>1</sup> Routh-Hurwitz Criteria



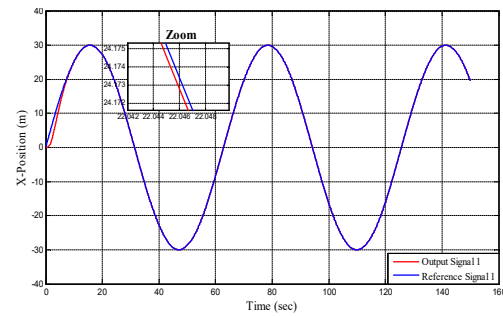
شکل ۸- ردیابی سیگنال مرجع توسط سیگنال خروجی زاویه یاب



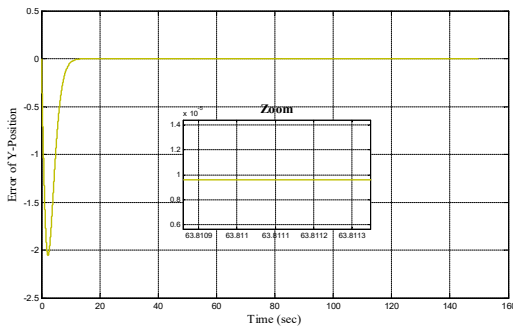
شکل ۴- ردیابی سه بعدی مسیر مرجع توسط سیگنال های خروجی.



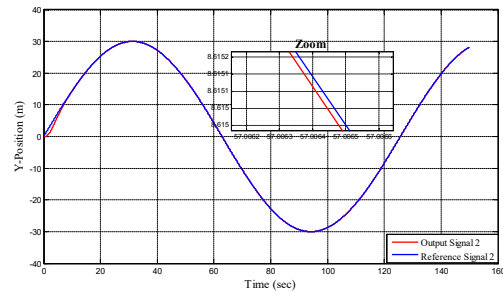
شکل ۹- سیگنال خطای ردیابی خروجی X



شکل ۵- ردیابی مسیر مرجع توسط سیگنال خروجی X

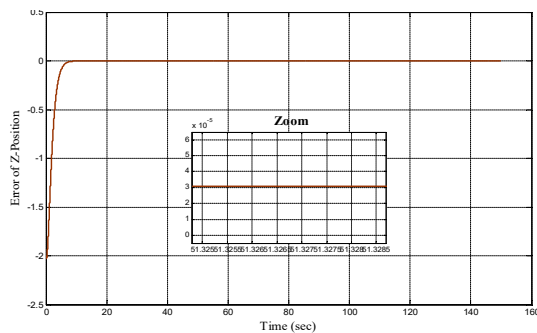


شکل ۱۰- سیگنال خطای ردیابی خروجی Y

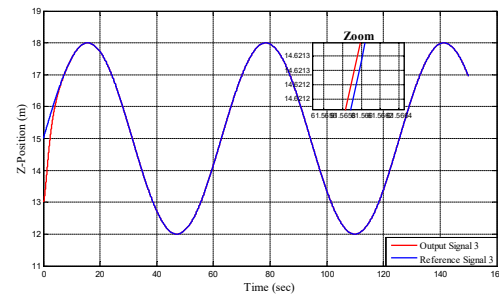


شکل ۶- ردیابی مسیر مرجع توسط سیگنال خروجی Y

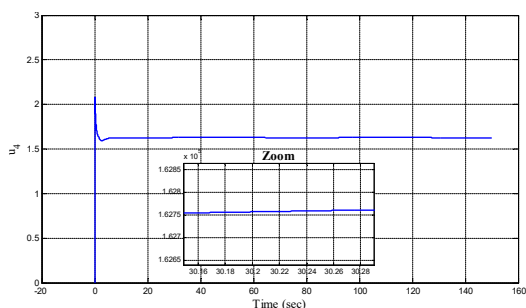
سیگنال های کنترل  $u_1$  تا  $u_4$  برای ربات پرنده چهارپره در شکل های ۱۳ تا ۱۶ ارائه شده است.



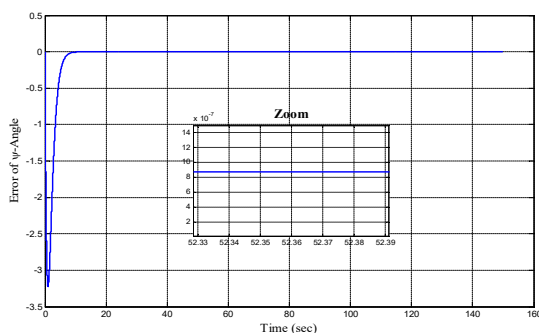
شکل ۱۱- سیگنال خطای ردیابی خروجی Z



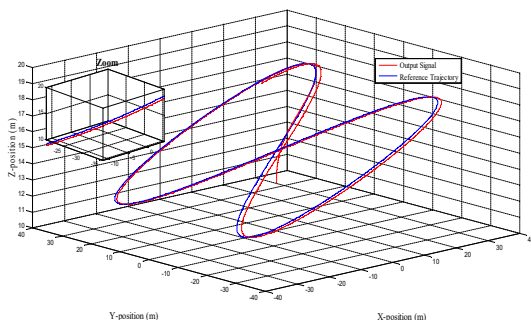
شکل ۷- ردیابی مسیر مرجع توسط سیگنال خروجی Z



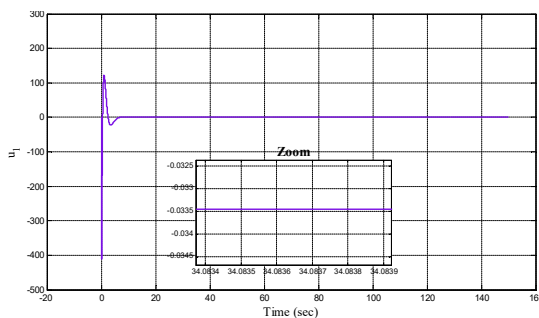
شکل ۱۶- سیگنال کنترلی شماره ۴



شکل ۱۲- سیگنال خطای ردیابی خروجی زاویه باو



شکل ۱۷- ردیابی سه بعدی مسیر مرجع توسط سیگنال‌های خروجی در حضور ترم نامعینی جمعی کران‌دار

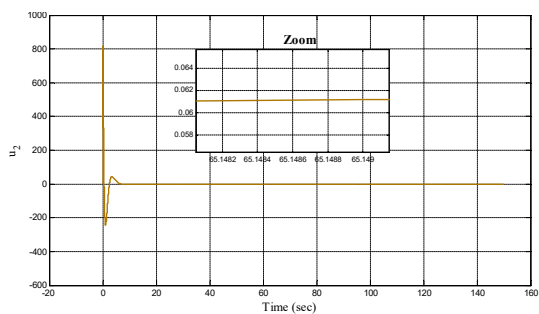


شکل ۱۳- سیگنال کنترلی شماره ۱

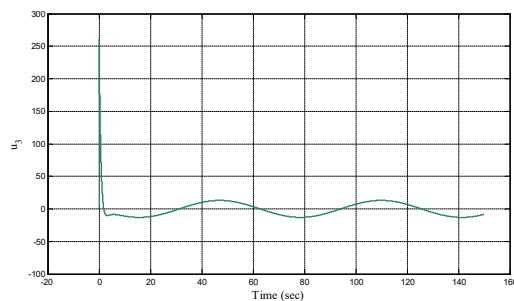
در ادامه، اگرچه اگرچه با بکارگیری یک کنترلگر PID بهینه و یا SMDRE می‌توان بر نامعینی‌های سیستم غلبه کرده و سیستم را در مقابل جملات نامعینی مقاوم ساخت، ولی این موضوع صرفاً با تنظیم بهره‌های<sup>۱</sup> کنترلگر میسر بوده و لذا تحلیل مناسبی از پایداری سیستم همانند روش پیشنهادی در این پژوهش نمی‌توان ارائه داد.

#### ۷- جمع‌بندی و نتیجه‌گیری

همانطور که عنوان شد، هدف اصلی در این پژوهش طراحی یک کنترلگر ردیاب برای ربات پرنده چهارپره با رویکرد جایابی قطب‌های معادلات دینامیکی خطا بر مبنای تحقق دیفومورفیزم می‌باشد. نتایج حاصل از شبیه‌سازی نشان داد که پس از گذشت مدت زمانی اندک، سیگنال‌های خطای ردیابی به سمت صفر میل کرده و سیگنال‌های خروجی توانسته‌اند سیگنال‌های مرجع را به خوبی ردیابی نمایند. همچنین مسئله‌ی فوق در حضور یک عدم قطعیت جمعی کران‌دار سینوسی (که مجموع عدم قطعیت‌های دینامیکی، ساختاری و محیطی می‌باشد) بررسی گردید و نشان داده شد که سیگنال‌های خروجی قادر نیستند مسیر مرجع خود را در حضور ترم نامعینی بخوبی ردیابی نمایند. لذا در صورت وجود جمله نامعینی، باید رویکردی همانند مود لغزشی ارائه گردد تا سیگنال‌های خروجی بتوانند سیگنال‌های مرجع را بدرستی ردیابی کنند.



شکل ۱۴- سیگنال کنترلی شماره ۲



شکل ۱۵- سیگنال کنترلی شماره ۳

<sup>1</sup> Gain



## ۸- مراجع

- [۱] یراقی م.، تحلیل دینامیک، مانورپذیری و کنترل پرواز کوادروتور. پایان نامه کارشناسی ارشد، دانشگاه صنعتی اصفهان، ۱۳۹۰.
- [۲] نمیرانیان ر.، شبیه سازی و کنترل ربات پرنده‌ی چهارموتوره. پایان نامه کارشناسی ارشد، دانشگاه سیستان و بلوچستان، ۱۳۹۱.
- [3] Leishman G.J., *Principles of helicopter aerodynamics with CD extra*. Cambridge university press, 2006.
- [4] Stoff J., *The Historic Aircraft and Spacecraft in the Cradle of Aviation Museum*. Courier Dover Publications, 2001.
- [5] Mistler V., Benallegue A. and M'sirdi N.K., Exact linearization and noninteracting control of a 4 rotors helicopter via dynamic feedback. In *Robot and Human Interactive Communication, Paris, France, 2001*.
- [6] Mokhtari A. and Abdelaziz Benallegue A., Dynamic feedback controller of Euler angles and wind parameters estimation for a quadrotor unmanned aerial vehicle. In *IEEE Robotics and Automation*, New Orleans, USA, 2004.
- [7] Mokhtari A., Benallegue A. and Daachi B., Robust feedback linearization and  $GH_{\infty}$  controller for a quadrotor unmanned aerial vehicle. In *Intelligent Robots and Systems*, Edmonton, Canada, 2005.
- [8] Benallegue A., Mokhtari A. and Fridman L., Feedback linearization and high order sliding mode observer for a quadrotor UAV. In *Variable Structure Systems*, Alghero, Italy, 2006.
- [9] Madani T. and Abdelaziz Benallegue A., Backstepping control for a quadrotor helicopter. In *IEEE Intelligent Robots and Systems*, Beijing, China, 2006.
- [10] Madani T. and Benallegue A., Backstepping sliding mode control applied to a miniature quadrotor flying robot. In *IEEE Industrial Electronics*, Paris, France, 2006.
- [11] Madani T. and Benallegue A., Control of a quadrotor mini-helicopter via full state backstepping technique. In *Decision and Control*, San Diego, USA, 2006.
- [12] Pounds P., Mahony R., Hynes P. and Roberts J., Design of a four-rotor aerial robot. In *Australasian Conference on Robotics and Automation*, Auckland, New Zealand, 2002.
- [13] Hamel T., Mahony R., Lozano R. and Ostrowski J., Dynamic Modeling and Configuration Stabilization for an X4-Flyer. In *IFAC 15th Triennial World Congre Barcelona*, Spain, 2002.
- [14] Altug E., Ostrowski J.P. and Mahony R., Control of a quadrotor helicopter using visual feedback. In *Robotics and Automation*, Washington, DC, USA, 2002.
- [15] Pounds P., Mahony R., Gresham J., Corke P. and Roberts J., Towards dynamically-favourable quad-rotor aerial robots. In *Proceedings of the 2004 Australasian Conference on Robotics & Automation*, , Canberal, Australia, 2004.
- [16] Castillo P., Dzul A. and Lozano R., Real-time stabilization and tracking of a four-rotor mini rotorcraft., *IEEE Transactions on Control Systems Technology*, Vol. 12, No. 4, 2004.
- [17] Bouabdallah S., Murrieri P. and Siegwart R., Design and control of an indoor micro quadrotor. In *Robotics and Automation*, New Orleans, USA, 2004.
- [18] Chamseddine A., Theilliol D., Zhang Y.M., Join C. and Rabbath C.A., Active fault-tolerant control system design with trajectory re-planning against actuator faults and saturation: Application to a quadrotor unmanned aerial vehicle. *International Journal of Adaptive Control and Signal Processing* 29, No.1, pp.1-23, 2015.
- [19] Navabi M. and Mirzaei H., Dynamic Modeling and Nonlinear Adaptive Control of Mescicopter Flight. *Modares Mechanical Engineering*, Vol. 15, No. 5, pp. 1-12, 2015.
- [20] Nicol C., Macnab J.B. and Ramirez-Serrano A., Robust adaptive control of a quadrotor helicopter. *Mechatronics*, Vol. 21, No. 6 , pp. 927-938, 2011.